

## НОВЫЕ ДАННЫЕ ПО СЕЧЕНИЯМ ПАРЦИАЛЬНЫХ И ПОЛНЫХ ФОТОНЕЙТРОННЫХ РЕАКЦИЙ ДЛЯ ИЗОТОПОВ $^{91,94}\text{Zr}$

© 2015 г. В. В. Варламов<sup>1)\*</sup>, М. А. Макаров<sup>2)</sup>, Н. Н. Песков<sup>1)</sup>, М. Е. Степанов<sup>1),2)</sup>

Поступила в редакцию 20.11.2014 г.

Проанализированы экспериментальные данные по фоторасщеплению изотопов  $^{91,94}\text{Zr}$ , полученные на пучке квазимоноэнергетических аннигиляционных фотонов с помощью метода разделения вылетающих нейтронов по множественности. Установлено, что сечения реакций  $(\gamma, 1n)$ ,  $(\gamma, 2n)$  и  $(\gamma, 3n)$  для обоих изотопов не удовлетворяют введенным ранее объективным критериям достоверности данных. В рамках экспериментально-теоретического метода оценки сечений парциальных реакций, удовлетворяющих введенным критериям, для изотопов  $^{91,94}\text{Zr}$  получены новые данные о сечениях указанных парциальных реакций, а также полной фотонейтронной реакции  $(\gamma, sn) = (\gamma, 1n) + (\gamma, 2n) + (\gamma, 3n) + \dots$

DOI: 10.7868/S0044002715030198

### 1. ВВЕДЕНИЕ

В работах [1–5] были проанализированы экспериментальные данные по фоторасщеплению большого числа средних и тяжелых ядер ( $^{90}\text{Zr}$ ,  $^{115}\text{In}$ ,  $^{112,114,116,117,118,119,120,122,124}\text{Sn}$ ,  $^{159}\text{Tb}$ ,  $^{181}\text{Ta}$ ,  $^{197}\text{Au}$ ), исследованных на пучках квазимоноэнергетических аннигиляционных фотонов с помощью методов разделения фотонейтронов по множественности, определяемой по их измеряемым кинетическим энергиям. Было установлено, что сечения парциальных реакций  $(\gamma, 1n)$ ,  $(\gamma, 2n)$  и  $(\gamma, 3n)$ , как правило, содержат значительные систематические погрешности, ставящие под сомнение их достоверность.

О наличии таких погрешностей свидетельствует прежде всего то, что:

1) специально введенные переходные функции множественности нейтронов:

$$F_i = \sigma(\gamma, in) / \sigma(\gamma, xn) = \sigma(\gamma, in) / [\sigma(\gamma, 1n) + 2\sigma(\gamma, 2n) + 3\sigma(\gamma, 3n) + \dots] \quad (1)$$

во многих областях энергии фотонов превышают физически допустимые по определению таких функций пределы (1.00, 0.50, 0.33, ... соответственно для  $i = 1, 2, 3, \dots$ );

2) в тех же областях энергии фотонов в сечениях разных реакций, главным образом  $(\gamma, 1n)$ , проявляются физически запрещенные отрицательные значения.

Было показано, что установленные систематические погрешности обусловлены недостатками использованных в экспериментах методов разделения фотонейтронов, основанных на результатах измерения их кинетических энергий.

Для получения сечений реакций, свободных от указанных недостатков и удовлетворяющих критериям достоверности данных, был предложен [1, 2] экспериментально-теоретический метод их оценки. Он основан на использовании в процедуре оценки лишь экспериментальных данных по сечениям реакции выхода нейтронов:

$$\sigma(\gamma, xn) \approx \sigma(\gamma, 1n) + 2\sigma(\gamma, 2n) + 3\sigma(\gamma, 3n) + \dots, \quad (2)$$

не зависящих от проблем разделения нейтронов по множественности, вместе с положениями комбинированной модели фотоядерных реакций [6, 7], также от этих проблем не зависящих. Экситонная предравновесная модель, использующая плотности уровней ядер, рассчитанные в модели ферми-газа, и учитывающая деформацию ядра и изоспиновое расщепление его гигантского резонанса, подробно описанная в работе [8], позволяет получать успешные приближения к сечениям реакции выхода нейтронов (2) в области средних и тяжелых ядер.

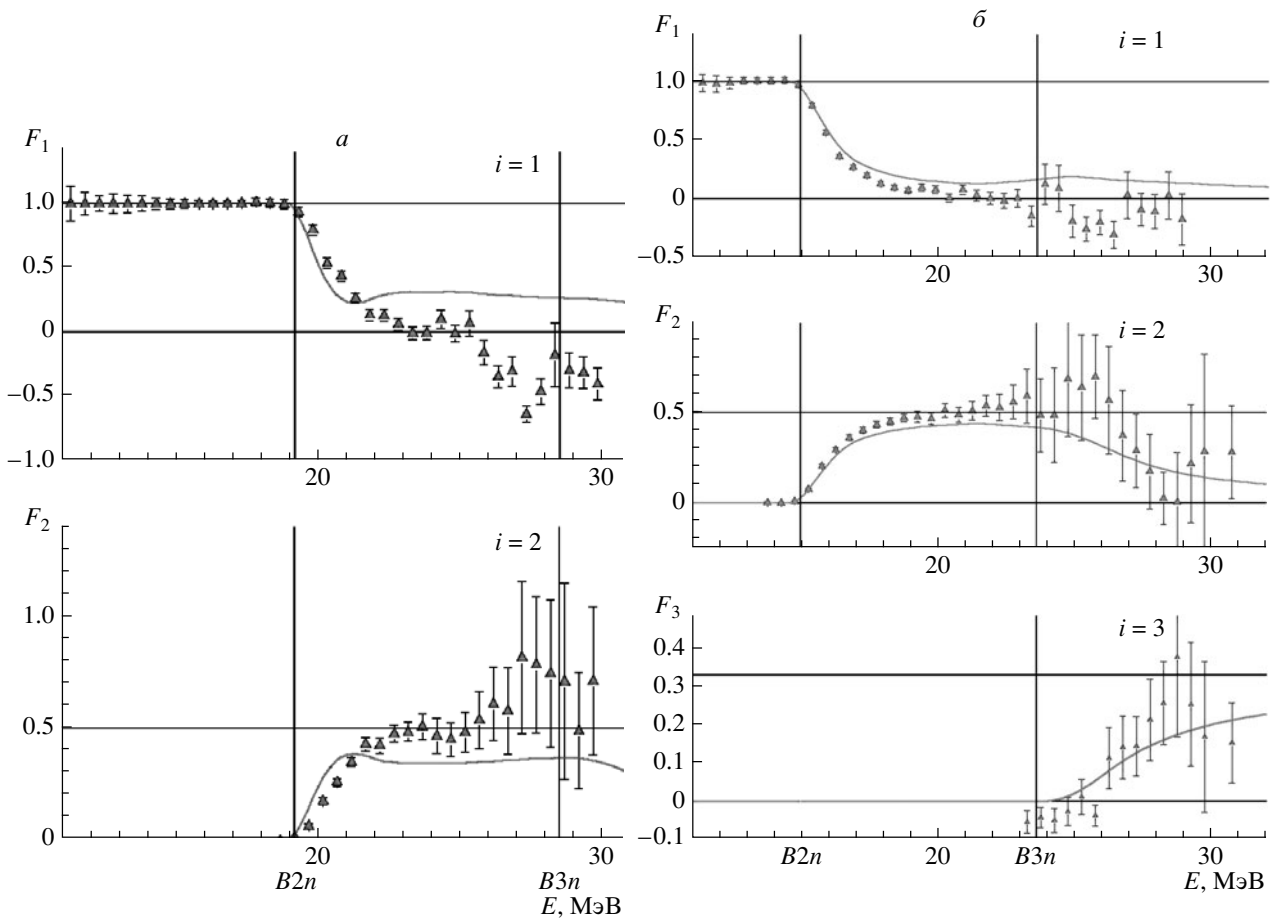
Соотношения оцененных сечений парциальных реакций:

$$\sigma^{\text{оцен}}(\gamma, in) = F_i^{\text{теор}} \sigma^{\text{экс}}(\gamma, xn), \quad (3)$$

<sup>1)</sup> Научно-исследовательский институт ядерной физики им. Д. В. Скобельцына Московского государственного университета им. М. В. Ломоносова, Россия.

<sup>2)</sup> Московский государственный университет им. М. В. Ломоносова, физический факультет, Россия.

\* E-mail: Varlamov@depni.sinp.msu.ru



**Рис. 1.** Сравнение (для  $i = 1, 2, 3$ ) переходных функций множественности  $F_i^{\text{эксп}}$ , полученных по экспериментальным данным [9] (треугольники), с функциями  $F_i^{\text{теор}}$ , полученными по результатам теоретических расчетов [6–8] (кривые) для изотопов  $^{91}\text{Zr}$  (а) и  $^{94}\text{Zr}$  (б).

при таком экспериментально-теоретическом подходе определяются отношениями  $F_i^{\text{теор}}$  (1), рассчитанными в модели, а их соответствующая сумма (2) совпадает с экспериментальным сечением  $\sigma^{\text{эксп}}(\gamma, xn)$ .

В настоящей работе такой подход использован для оценки сечений парциальных  $(\gamma, 1n)$ ,  $(\gamma, 2n)$  и  $(\gamma, 3n)$  и полной  $(\gamma, sn) = (\gamma, 1n) + (\gamma, 2n) + (\gamma, 3n) + \dots$  фотонейтронных реакций на изотопах  $^{91,94}\text{Zr}$ , для которых несоответствие экспериментальных данных [9] критериям достоверности (1) проявляется весьма отчетливо.

## 2. АНАЛИЗ ДОСТОВЕРНОСТИ ЭКСПЕРИМЕНТАЛЬНЫХ ДАННЫХ НА ОСНОВЕ ПЕРЕХОДНЫХ ФУНКЦИЙ МНОЖЕСТВЕННОСТИ НЕЙТРОНОВ $F_i$

Несоответствие экспериментальных данных для изотопов  $^{91,94}\text{Zr}$  физическим критериям достоверности наглядно иллюстрирует рисунок 1. На нем

проводится сравнение энергетических зависимостей переходных функций множественности нейтронов  $F_i^{\text{теор}}$  (1), рассчитанных [6–8] в рамках комбинированной модели (кривые), с энергетическими зависимостями функций  $F_i^{\text{эксп}}$  (1), полученными по данным работы [9] для обоих обсуждаемых в настоящей работе изотопов циркония (треугольники с погрешностями).

На рис. 1 хорошо видно, что энергетические зависимости функций  $F_i^{\text{теор}}$  согласно определению (1) выглядят следующим образом:

при энергиях фотонов до энергетического порога  $B2n$  реакции  $(\gamma, 2n)$  возможна лишь реакция  $(\gamma, 1n)$ , следовательно,  $F_1^{\text{теор}} = 1$ ,  $F_2^{\text{теор}} = F_3^{\text{теор}} = 0$ ;

при энергиях фотонов в области энергий между  $B2n$  и  $B3n$   $F_1^{\text{теор}}$  уменьшается в соответствии с конкуренцией уменьшающегося  $\sigma(\gamma, 1n)$  и увеличивающегося  $\sigma(\gamma, 2n)$ , а  $F_2^{\text{теор}}$  возрастает в соответствии с той же конкуренцией  $\sigma(\gamma, 2n)$  и  $\sigma(\gamma, 1n)$

и приближается снизу к физически обусловленному (1) пределу 0.50, нигде его не достигая;

при энергиях фотонов выше энергетического порога  $V3n$   $F_2^{\text{теор}}$  уменьшается в связи с появлением (1) вклада  $3\sigma(\gamma, 3n)$ .

На рис. 1 хорошо видно также, что энергетические зависимости функций  $F_i^{\text{эксп}}$  и  $F_i^{\text{теор}}$  существенно различаются. Для изотопа  $^{91}\text{Zr}$  в области энергий, больших  $\sim 25.5$  МэВ, отношения  $F_1^{\text{эксп}}$ , очевидно выходя за погрешности, находятся в области физически недопустимых отрицательных значений, а отношения  $F_2^{\text{эксп}}$  — в области физически недостоверных значений, превышающих предел 0.50. Это определенно свидетельствует о том, что экспериментальное [9] разделение нейтронов с множественностями 1 и 2 выполнено некорректно.

В случае изотопа  $^{94}\text{Zr}$  ситуация оказывается более сложной в связи с большими погрешностями, однако и в этом случае выводы о некорректности выполненного разделения нейтронов по множественности могут быть сделаны вполне определенно.

Так, поскольку при энергиях, больших  $\sim 22.2$  МэВ, среди отношений  $F_1^{\text{эксп}}$  наблюдаются (за исключением двух значений при энергиях  $\sim 24.0$ – $24.5$  МэВ) физически недопустимые отрицательные значения, отрицательное значение площади участка под кривой  $F_1^{\text{эксп}}(E)$

$$\int_{22.2}^{29.0} F_1(E)dE = -0.55 \pm 0.26 \text{ МэВ} \quad (4)$$

вместе с отрицательным значением интегрального сечения реакции  $(\gamma, 1n)$  в том же диапазоне энергий

$$\int_{22.2}^{29.0} \sigma(E)dE = -19.05 \pm 14.94 \text{ МэВ мбн} \quad (5)$$

ставят под сомнение достоверность определения сечения реакции  $(\gamma, 1n)$ .

В области энергий  $\sim 20.3$ – $26.0$  МэВ в отношении  $F_2^{\text{эксп}}$  наблюдаются значения, превышающие предел 0.50; величина площади значений под кривой  $F_2^{\text{эксп}}(E)$ , рассчитанной для указанной области, в случае экспериментальных данных [9] составляет

$$\int_{20.3}^{26.0} F_2(E)dE = 3.20 \pm 0.38 \text{ МэВ}, \quad (6)$$

а в случае расчетных данных  $2.30 \pm 0.08$  МэВ, тогда как физически достоверный по определению (1) верхний предел составляет  $0.5 \times [26.0 - 20.3] = 2.85$ . Существенное превышение функцией  $F_2^{\text{эксп}}$

указанного верхнего предела ставит под сомнение достоверность определения сечения реакции  $(\gamma, 2n)$ .

Дополнительно следует обратить внимание на то обстоятельство, что во всей рассматриваемой области энергий функция  $F_2^{\text{эксп}}$  возрастает, хотя по определению (1) выше порога  $V3n = 23.6$  МэВ должно наблюдаться ее уменьшение.

Следует отметить также и то, что для обоих рассмотренных изотопов  $^{91,94}\text{Zr}$  достоверность данных в области меньших энергий также может быть поставлена под сомнение вследствие значительных расхождений значений  $F_1^{\text{эксп}}$  и  $F_1^{\text{теор}}$ , а также  $F_2^{\text{эксп}}$  и  $F_2^{\text{теор}}$ .

Все сказанное свидетельствует о том, что экспериментальное [9] разделение нейтронов с множественностями 1, 2 и 3 выполнено некорректно.

### 3. ОЦЕНКА СЕЧЕНИЙ ПАРЦИАЛЬНЫХ ФОТОНЕЙТРОННЫХ РЕАКЦИЙ, НЕ ЗАВИСЯЩИХ ОТ ПРОБЛЕМ РАЗДЕЛЕНИЯ НЕЙТРОНОВ ПО МНОЖЕСТВЕННОСТИ

#### 3.1. Данные для изотопа $^{91}\text{Zr}$

Как отмечалось выше, оценка сечений парциальных реакций, свободных от недостатков экспериментальных методов разделения нейтронов по множественности, основывается на соответствующих соотношениях теоретической модели [6–8], определяющих разделение на вклады с разным числом нейтронов экспериментального сечения выхода нейтронов (2). В связи с этим на предварительном этапе оценки сечений парциальных реакций экспериментальное и теоретическое сечения выхода нейтронов должны быть по возможности согласованы друг с другом.

Для ядра  $^{91}\text{Zr}$  экспериментальное сечение выхода нейтронов  $\sigma^{\text{эксп}}(\gamma, xn)$  достаточно хорошо согласуется с теоретическим сечением  $\sigma^{\text{теор}}(\gamma, xn)$ , рассчитанным в рамках модели [6–8]. Однако перед тем как использовать в процедуре оценки (3) функции  $F_i^{\text{теор}}$ , с целью достижения максимально хорошего согласия экспериментального и теоретического сечений последнее было дополнительно слегка скорректировано — сдвинуто в сторону больших энергий на 0.30 МэВ и умножено на коэффициент 0.84. Сравнение исходного и скорректированного теоретических сечений с экспериментальным [9] сечением проведено на рис. 2. Соответствующие интегральные сечения представлены в табл. 1.

Сечения реакций  $(\gamma, 1n)$ ,  $(\gamma, 2n)$  и  $(\gamma, sn)$  на изотопе  $^{91}\text{Zr}$ , оцененные после такой корректировки в рамках экспериментально-теоретического

**Таблица 1.** Центры тяжести  $E^{ц.т.}$  и интегральные сечения  $\sigma^{инт}$  сечений реакции  $^{91}\text{Zr}(\gamma, xn)$

	$E^{ц.т.}, \text{МэВ}$	$\sigma^{инт}, \text{МэВ мбн}$	$E^{ц.т.}, \text{МэВ}$	$\sigma^{инт}, \text{МэВ мбн}$	$E^{ц.т.}, \text{МэВ}$	$\sigma^{инт}, \text{МэВ мбн}$
Область энергии	$E^{инт} = B2n = 19.2 \text{ МэВ}$		$E^{инт} = B3n = 28.5 \text{ МэВ}$		$E^{инт} = 30.0 \text{ МэВ}$	
Эксперимент [9]	16.1	$782.3 \pm 4.8$	18.5	$1235.8 \pm 12.5$	18.9	$1276.0 \pm 17.2$
Теория — исх. [6–8]	15.8	$937.4 \pm 19.2$	18.4	$1497.1 \pm 21.7$	18.8	$1548.0 \pm 21.9$
Теория — корр.	16.0	$782.3 \pm 19.6$	18.6	$1249.4 \pm 22.2$	19.0	$1291.8 \pm 22.3$

подхода (3), представлены на рис. 3 вместе с экспериментальным сечением реакции  $(\gamma, xn)$  [9], использованным в качестве исходной информации для процедуры оценки (3). Данные, приведенные на рис. 3 и в табл. 2, наглядно представляют те значительные систематические погрешности, которые отмечались ранее при анализе энергетических зависимостей функций  $F_1^{эксп}$  и  $F_2^{эксп}$  и которые являются причиной некорректности в разделении нейтронов с множественностями 1 и 2. В то время как до порога  $B2n = 19.2 \text{ МэВ}$  экспериментальные и оцененные интегральные сечения реакции  $(\gamma, 1n)$  практически совпадают ( $780.8$  и  $782.6 \text{ МэВ мбн}$  соответственно), в области энергий, в которой возможна и реакция  $(\gamma, 2n)$ , экспериментальное интегральное сечение реакции  $(\gamma, 1n)$  оказывается на 8% меньше оцененного ( $881.8$  и  $947.5 \text{ МэВ мбн}$ ), а сечение реакции  $(\gamma, 2n)$  на 22% больше ( $174.8$  и  $143.4 \text{ МэВ мбн}$ ).

Столь отчетливо наблюдаемая асимметрия отличий экспериментальных и оцененных сечений реакций  $(\gamma, 1n)$  и  $(\gamma, 2n)$  в области энергий, при которых вылет трех нейтронов энергетически еще невозможен, наглядно свидетельствует о еще одном недостатке экспериментального метода разделения фотонейтронов по множественности, основанном на измерении их кинетических энергий. Он связан с тем обстоятельством, что в проведенных экспериментах не учитывались вклады протонных реакций. Так, например, реакция, обозначенная в работе [9] как  $(\gamma, 1n)$ , по существу представляет собой реакцию  $(\gamma, 1n) + (\gamma, 1n1p)$ . Реакция  $(\gamma, 1n1p)$  на ядре  $^{91}\text{Zr}$  имеет относительно невысокий энергетический порог ( $15.6 \text{ МэВ}$ ) и величину сечения, сравнимую с величиной сечения реакции  $(\gamma, 2n)$ . Очевидно, что распределение энергии возбужденного ядра между двумя нуклонами — нейтроном и протоном — в реакции  $(\gamma, 1n1p)$  должно быть приблизительно таким же, как и между двумя нейтронами в реакции  $(\gamma, 2n)$ . Однако нейтрон из реакции  $(\gamma, 1n1p)$  имеет множественность 1, а нейтрон из реакции  $(\gamma, 2n)$  — множественность 2. Это делает использованную в [9] процедуру разделения нейтронов по множественности на основании измере-

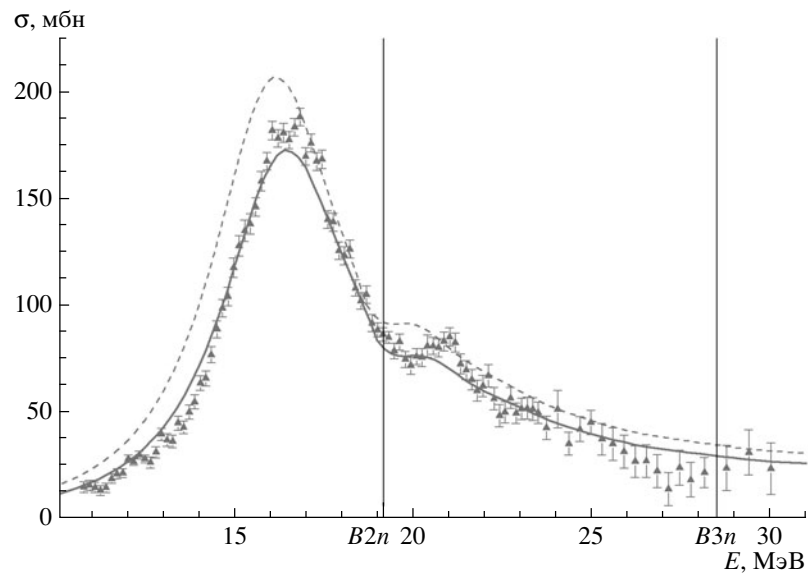
ния их кинетических энергий не вполне оправданной, поскольку нейтроны из каналов “1n” и “2n” при таком положении дел “перепутываются”: нейтроны малых энергий из реакции  $(\gamma, 1n1p)$  необоснованно интерпретируются как принадлежащие не реакции  $(\gamma, 1n)$ , а реакции  $(\gamma, 2n)$ .

Следует отметить, что реальные расхождения сечений обеих обсуждаемых парциальных реакций, обусловленные погрешностями разделения нейтронов по множественности, по существу являются еще более значительными. Это связано с тем, что различия величин интегральных сечений, рассчитанных в указанных пределах, несколько искажаются расхождениями экспериментальных и оцененных сечений реакций в области энергий до  $\sim 22.5 \text{ МэВ}$ , в которой они имеют направленность, противоположную ей при больших энергиях (для

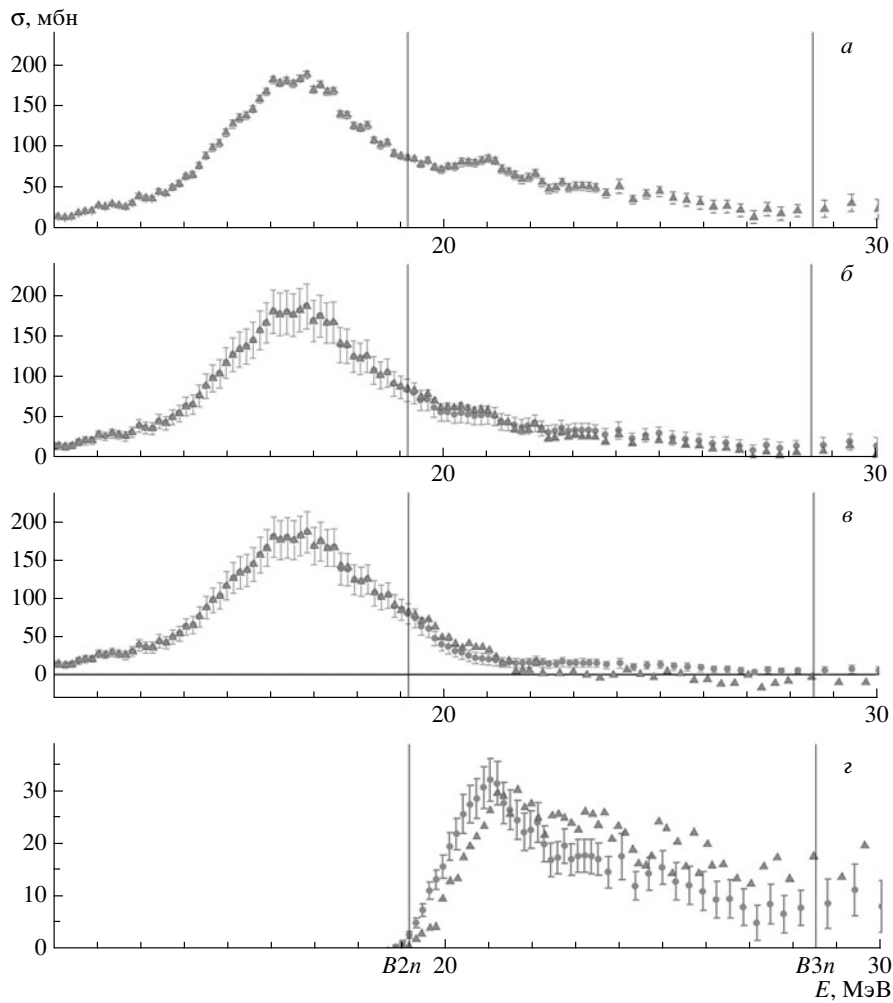
**Таблица 2.** Интегральные сечения  $\sigma^{инт}$  оцененных сечений полных и парциальных фотонейтронных реакций на изотопе  $^{91}\text{Zr}$  в сравнении с экспериментальными данными [9]

Реакция	$\sigma^{инт}, \text{МэВ мбн}$	
	Оцененные данные	Экспериментальные данные
$E^{инт} = B2n = 19.2 \text{ МэВ}$		
$(\gamma, xn)^*$	$782.3 \pm 4.8$	$782.3 \pm 4.8^*$
$(\gamma, sn)$	$781.4 \pm 4.8$	$782.8 \pm 4.8$
$(\gamma, 1n)$	$782.6 \pm 4.8$	$780.8 \pm 22.0$
$E^{инт} = B3n = 28.5 \text{ МэВ}$		
$(\gamma, xn)^*$	$1276.0 \pm 17.2^*$	$1235.8 \pm 12.5$
$(\gamma, sn)$	$1091.6 \pm 27.5$	$1061.4 \pm 11.5$
$(\gamma, 1n)$	$947.5 \pm 24.2$	$881.8 \pm 11.0$
$(\gamma, 2n)$	$143.4 \pm 6.0$	$174.8 \pm 5.2$

\* Исходное для оценки экспериментальное сечение [9].



**Рис. 2.** Сравнение исходного (штриховая кривая) и скорректированного (сплошная кривая) сечений реакции  $^{91}\text{Zr}(\gamma, xn)$  с экспериментальными данными [9] (треугольники).



**Рис. 3.** Сравнение оцененных (кружки) и экспериментальных [9] (треугольники) сечений полных и парциальных фотонейтронных реакций на ядре  $^{91}\text{Zr}$ : а –  $\sigma(\gamma, xn)$ , б –  $\sigma(\gamma, sn)$ , в –  $\sigma(\gamma, 1n)$ , г –  $\sigma(\gamma, 2n)$ .

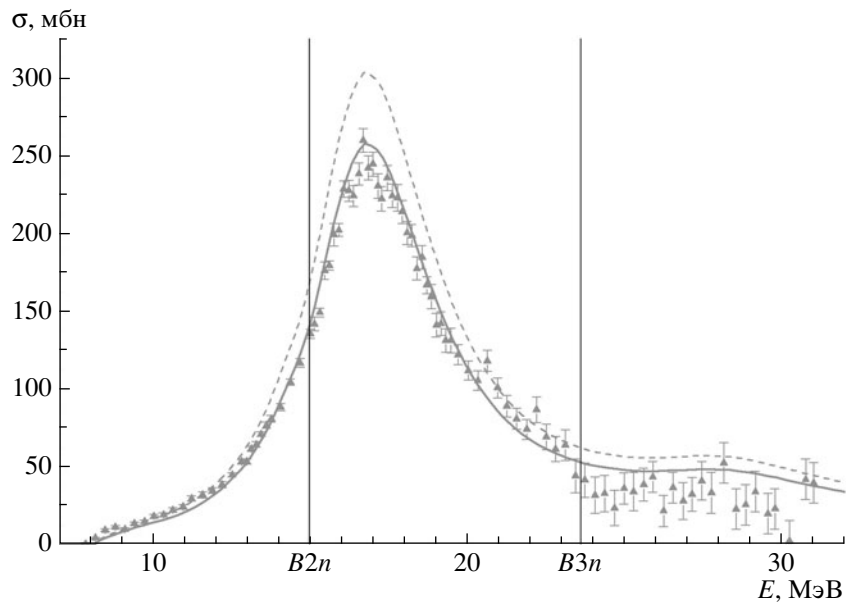


Рис. 4. Сравнение исходного (штриховая кривая) и скорректированного (сплошная кривая) сечений реакции  $^{94}\text{Zr}(\gamma, xn)$  с экспериментальными данными [9] (треугольники).

реакции  $(\gamma, 1n)$  экспериментальное сечение больше оцененного, а для реакции  $(\gamma, 2n)$ , напротив, меньше).

### 3.2. Данные для изотопа $^{94}\text{Zr}$

По аналогии с тем, как это было сделано в случае изотопа  $^{91}\text{Zr}$ , в случае изотопа  $^{94}\text{Zr}$  перед проведением оценки (3) теоретическое сечение реакции выхода нейтронов также было слегка дополнительно скорректировано — сдвинуто в сторону больших энергий на 0.02 МэВ и умножено на коэффициент 0.85. Соответствующие данные приведены на рис. 4 и в табл. 3.

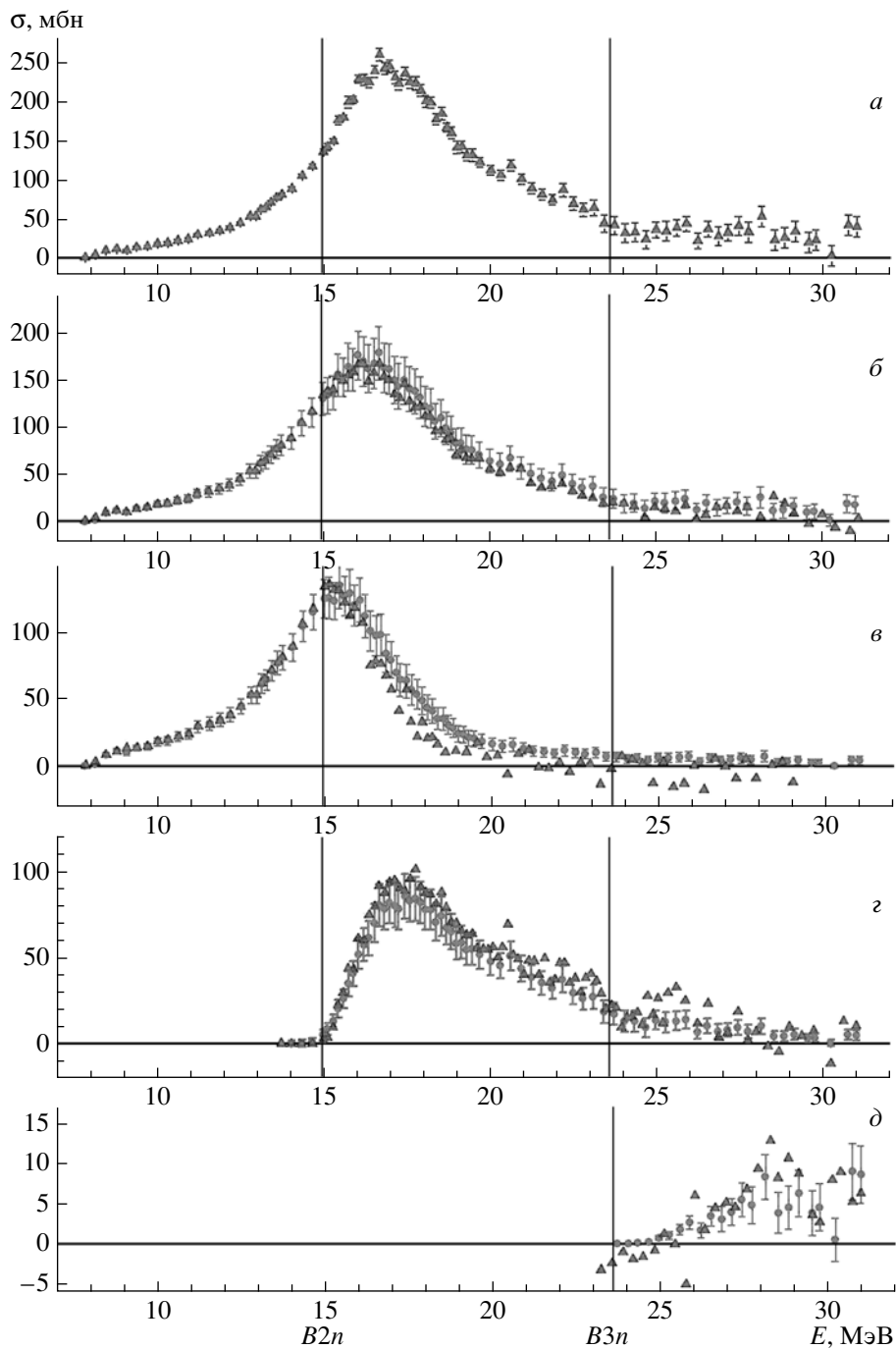
Сечения реакций  $(\gamma, 1n)$ ,  $(\gamma, 2n)$ ,  $(\gamma, 3n)$  и  $(\gamma, sn)$  на изотопе  $^{94}\text{Zr}$ , оцененные в рамках экспериментально-теоретического подхода (3), представлены на рис. 5 вместе с соответствующими экспериментальными сечениями реакции  $(\gamma, xn)$ . В табл. 4 приведены соответствующие интегральные сечения.

В то время как до порога  $B_{2n} = 15.0$  МэВ экспериментальные и оцененные интегральные сечения реакции  $(\gamma, 1n)$ , как и в случае изотопа  $^{91}\text{Zr}$ , практически совпадают (260.6 и 261.8 МэВ мбн), в области энергий, в которой возможна и реакция  $(\gamma, 2n)$ , экспериментальное интегральное сечение реакции  $(\gamma, 1n)$  оказывается на 19% меньше оцененного (546.1 и 652.4 МэВ мбн), а реакции  $(\gamma, 2n)$  на 15% больше (494.5 и 429.0 МэВ мбн). В случае изотопа  $^{94}\text{Zr}$  асимметрия различий

экспериментальных и оцененных сечений реакций оказывается существенно меньше (19% и 15%), чем это наблюдается в случае изотопа  $^{91}\text{Zr}$  (8% и 22%). Выше было показано, что такая асимметрия может быть связана с вкладом протонной реакции  $(\gamma, 1n1p)$ . Различие ситуаций для обоих исследуемых изотопов при таком положении дел может быть обусловлено существенно меньшей ролью этой реакции в случае изотопа  $^{94}\text{Zr}$  по сравнению со случаем изотопа  $^{91}\text{Zr}$  — ее порог на 2.2 МэВ выше, а величина сечения заметно меньше величины сечения реакции  $(\gamma, 2n)$  [6, 7].

В области энергий, больших  $B_{3n} = 23.6$  МэВ, экспериментальное интегральное сечение реакции  $(\gamma, 1n)$  оказывается уже на 60% меньше оцененного (434.7 и 694.9 МэВ мбн), реакции  $(\gamma, 2n)$  на 23% больше (662.6 и 539.4 МэВ мбн), а реакции  $(\gamma, 3n)$  на 52% больше (85.4 и 56.1 МэВ мбн).

Следует отметить, что в целом расхождения экспериментальных и оцененных сечений в случае изотопа  $^{94}\text{Zr}$  оказываются заметно большими по сравнению с тем, что имеет место в случае изотопа  $^{91}\text{Zr}$ . Это связано с тем обстоятельством, что энергетический порог  $B_{3n} = 23.6$  МэВ для  $^{94}\text{Zr}$  намного ниже, чем для  $^{91}\text{Zr}$  ( $B_{3n} = 28.5$  МэВ). В связи с этим в рассматриваемой области энергий ГДР к погрешностям экспериментального разделения нейтронов с множественностями 1 и 2 добавляются погрешности разделения нейтронов с множественностями 1 и 3, а также 2 и 3.



**Рис. 5.** Сравнение оцененных (кружки) и экспериментальных [9] (треугольники) сечений полных и парциальных фотонейтронных реакций на ядре  $^{94}\text{Zr}$ : *a* –  $\sigma(\gamma, xn)$ , *б* –  $\sigma(\gamma, sn)$ , *в* –  $\sigma(\gamma, 1n)$ , *г* –  $\sigma(\gamma, 2n)$ , *д* –  $\sigma(\gamma, 3n)$ .

#### 4. ЗАКЛЮЧЕНИЕ

Выполненные исследования позволяют сделать определенные выводы об особенностях фоторасщепления обоих исследованных изотопов  $^{91,94}\text{Zr}$ .

Экспериментальные данные [9] по сечениям парциальных фотонейтронных реакций  $(\gamma, 1n)$ ,  $(\gamma, 2n)$  на ядре  $^{91}\text{Zr}$  и  $(\gamma, 1n)$ ,  $(\gamma, 2n)$  и  $(\gamma, 3n)$  на

ядре  $^{94}\text{Zr}$ , полученные с помощью метода разделения фотонейтронов по множественности, содержат значительные систематические погрешности и не удовлетворяют предложенным критериям достоверности данных. Эти погрешности обусловлены необоснованным перераспределением нейтронов между каналами “1n”, “2n” и “3n”. Так, именно изъятие в различных областях энергии фотонов

**Таблица 3.** Центры тяжести  $E^{ц.т.}$  и интегральные сечения  $\sigma^{инт}$  сечений реакции  $^{94}\text{Zr}(\gamma, xn)$

	$E^{ц.т.}, \text{МэВ}$	$\sigma^{инт}, \text{МэВ мбн}$	$E^{ц.т.}, \text{МэВ}$	$\sigma^{инт}, \text{МэВ мбн}$	$E^{ц.т.}, \text{МэВ}$	$\sigma^{инт}, \text{МэВ мбн}$
Область энергии	$E^{инт} = B2n = 15.0 \text{ МэВ}$		$E^{инт} = B3n = 23.6 \text{ МэВ}$		$E^{инт} = 31.0 \text{ МэВ}$	
Эксперимент [9]	12.9	$299.3 \pm 2.7$	17.3	$1545.8 \pm 12.3$	18.6	$1779.3 \pm 25.2$
Теория — исх. [6–8]	13.1	$333.4 \pm 8.8$	17.3	$1820.5 \pm 30.3$	19.1	$2228.9 \pm 31.6$
Теория — корр.	13.1	$283.1 \pm 9.0$	17.3	$1545.5 \pm 31.1$	19.1	$1892.2 \pm 32.4$

значительной части нейтронов из канала “1n” приводит к тому, что сечение реакции  $(\gamma, 1n)$  уменьшается вплоть до появления в нем (и соответственно в функции  $F_1^{эксп}$ ) физически запрещенных отрицательных значений. Необоснованное перемещение нейтронов из канала “1n” в канал “2n” приводит к тому, что сечение реакции  $(\gamma, 2n)$

**Таблица 4.** Интегральные сечения  $\sigma^{инт}$  оцененных сечений полных и парциальных фотонейтронных реакций на изотопе  $^{94}\text{Zr}$  в сравнении с экспериментальными данными [9]

Реакция	$\sigma^{инт}, \text{МэВ мбн}$	
	Оцененные данные	Экспериментальные данные
$E^{инт} = B2n = 15.0 \text{ МэВ}$		
$(\gamma, xn)^*$	$260.5 \pm 2.4$	$260.5 \pm 2.4^*$
$(\gamma, sn)$	$262.8 \pm 2.4$	$259.8 \pm 2.4$
$(\gamma, 1n)$	$261.8 \pm 9.1$	$260.6 \pm 2.5$
$E^{инт} = B3n = 23.6 \text{ МэВ}$		
$(\gamma, xn)^*$	$1506.7 \pm 12.2^*$	$1506.7 \pm 12.2$
$(\gamma, sn)$	$1086.3 \pm 30.1$	$1011.1 \pm 8.0$
$(\gamma, 1n)$	$652.4 \pm 15.3$	$546.1 \pm 11.5$
$(\gamma, 2n)$	$429.0 \pm 4.3$	$494.5 \pm 7.4$
$E^{инт} = 31.0 \text{ МэВ}$		
$(\gamma, xn)^*$	$2067.2 \pm 40.0^*$	$2067.2 \pm 40.0$
$(\gamma, sn)$	$1011.1 \pm 8.0$	$1114.0 \pm 13.6$
$(\gamma, 1n)$	$694.9 \pm 14.3$	$434.7 \pm 31.5$
$(\gamma, 2n)$	$539.4 \pm 10.7$	$662.6 \pm 33.8$
$(\gamma, 3n)$	$56.1 \pm 12.3$	$85.4 \pm 18.5$

\* Исходное для оценки экспериментальное сечение [9].

возрастает. Следовательно, также необоснованно возрастают значения функции  $F_2^{эксп}$ , и среди них появляются такие, которые превышают физически допустимый по определению (1) предел 0.50.

Обнаруженные систематические погрешности экспериментальных сечений парциальных фотонейтронных реакций для обоих изотопов  $^{91,94}\text{Zr}$ , как и для ядер, исследованных [1–5] ранее ( $^{90}\text{Zr}$ ,  $^{115}\text{In}$ ,  $^{112,114,116,117,118,119,120,122,124}\text{Sn}$ ,  $^{159}\text{Tb}$ ,  $^{181}\text{Ta}$ ,  $^{197}\text{Au}$ ), обусловлены близостью кинетических энергий нейтронов из разных парциальных реакций. В работе [4] на примере данных для изотопа  $^{181}\text{Ta}$  было показано, что при увеличении энергии фотонов в области ГДР форма спектра фотонейтронов изменяется несильно — основной вклад дают нейтроны с энергиями  $\sim 1 \text{ МэВ}$ . С другой стороны, при открытии канала с испусканием большого количества нейтронов (например, “2n”) некоторое количество нейтронов малых энергий оказывается связанным с каналом “1n”. Это усугубляется вкладом протонных реакций, которые не учитывались в проведенных экспериментах [9].

Следует отметить, что сечения как парциальных реакций  $(\gamma, 1n)$ ,  $(\gamma, 2n)$  и  $(\gamma, 3n)$ , так и полной реакции  $(\gamma, sn)$ , оцененные для изотопов  $^{91,94}\text{Zr}$  в рамках экспериментально-теоретического подхода (3), свободны от обсуждаемых систематических погрешностей и существенно отличаются от экспериментальных сечений.

Работа выполнена в Отделе электромагнитных процессов и взаимодействий атомных ядер НИИЯФ МГУ и частично поддержана грантами РФФИ № 09-02-00368 и 13-02-00124. Авторы выражают искреннюю благодарность доктору физико-математических наук профессору Б.С. Ишханову и доктору физико-математических наук В.Н. Орлину за ценные консультации и обсуждения, а также помощь в интерпретации полученных данных.

СПИСОК ЛИТЕРАТУРЫ

1. В. В. Варламов, Б. С. Ишханов, В. Н. Орлин, В. А. Четверткова, Изв. РАН. Сер. физ. **74**, 875 (2010) [Bull. Russ. Acad. Sci. Phys. **74**, 833 (2010)].

2. В. В. Варламов, Б. С. Ишханов, В. Н. Орлин, С. Ю. Трощев, Изв. РАН. Сер. физ. **74**, 884 (2010) [Bull. Russ. Acad. Sci. Phys. **74**, 842 (2010)].
3. В. В. Варламов, В. Н. Орлин, Н. Н. Песков, Т. С. Полевич, Препринт № 2012/879 НИИЯФ МГУ (Москва, 2012).
4. Б. С. Ишханов, В. Н. Орлин, С. Ю. Трощев, ЯФ **75**, 283 (2012) [Phys. Atom. Nucl. **75**, 253 (2012)].
5. В. В. Варламов, Б. С. Ишханов, В. Н. Орлин, ЯФ **75**, 1414 (2012) [Phys. Atom. Nucl. **75**, 1339 (2012)].
6. Б. С. Ишханов, В. Н. Орлин, ЭЧАЯ **38**, 460 (2007) [Phys. Part. Nucl. **38**, 232 (2007)].
7. Б. С. Ишханов, В. Н. Орлин, ЯФ **71**, 517 (2008) [Phys. Atom. Nucl. **71**, 493 (2008)].
8. B. S. Ishkhanov, V. N. Orlin, K. A. Stopani, and V. V. Varlamov, *Photonuclear Reactions and Astrophysics*, in *The Universe Evolution: Astrophysical and Nuclear Aspects*, Ed. by I. Strakovsky and L. Blokhintsev (Nova Science Publ., New York, 2013), p. 113.
9. B. L. Berman, J. T. Caldwell, R. R. Harvey, *et al.*, Phys. Rev. **162**, 1098 (1967).

## NEW DATA ON THE CROSS SECTIONS OF PARTIAL AND TOTAL PHOTONEUTRON REACTIONS FOR $^{91,94}\text{Zr}$

**V. V. Varlamov, M. A. Makarov, N. N. Peskov, M. E. Stepanov**

The experimental data on  $^{91,94}\text{Zr}$  photodisintegration obtained on the quasimonoenergetic annihilation photon beams using the method of neutron multiplicity sorting were analyzed. It was found that the cross sections of  $(\gamma, 1n)$ ,  $(\gamma, 2n)$ , and  $(\gamma, 3n)$  reactions for both isotopes do not satisfy objective data reliability criteria introduced before. New data for partial and total  $(\gamma, sn) = (\gamma, 1n) + (\gamma, 2n) + (\gamma, 3n) + \dots$  reactions cross sections for isotopes  $^{91,94}\text{Zr}$  satisfying the introduced data reliability criteria were obtained in the frame of experimentally–theoretical method of evaluation.